

## مطالعه پتروگرافی، رئوژیمی و تعیین سری ماگمایی سنگ‌های آتشفشاری منطقه زاچلیک، آذربایجان شرقی

ابوالفضل حسن‌زاده کولانی<sup>۱</sup>، سعیده بهارلوتی یانچشم<sup>۲\*</sup>

۱- کارشناسی ارشد اکتشاف معدن، گروه مهندسی معدن، واحد اهر، دانشگاه آزاد اسلامی، اهر، ایران

Email: abolfazlhasanzadeh1@yahoo.com

۲- استادیار، گروه زمین‌شناسی، واحد اهر، دانشگاه آزاد اسلامی، اهر، ایران

Email: somayehbaharlui@gmail.com

### چکیده

منطقه زاچلیک در ۲۵ کیلومتری جنوب شرق تهرستان اهر، استان آذربایجان شرقی واقع شده است. این منطقه به عنوان بخشی از کمان ماگمایی ترتیبی البرز غربی-قفقار کوچک از زون ارسپاران شامل مجموعه‌ای از سنگ‌های آتشفشاری اتوسن بالایی با ترکیب حدودست تا اسیدی است که بر طبق مطالعات انجام گرفته، ریولیت، ریوداسیت، آندزیت بازالت و تراکی آندزیت عمدۀ سنگ‌های تشکیل دهنده منطقه می‌باشد. در بررسی های صحرایی، واحد لیتیک توف آندزیتی، حجم وسیعی از منطقه را شامل می‌شود به طوری که می‌توان آن را به عنوان زمینه‌ی سنگی محدوده مطالعه در نظر گرفت که بقیه‌ی واحدها را در بر گرفته است. نمودارهای دوتایی برخی از عناصر اصلی در برایر سیلیس ترسیم شده است. بررسی روند تغییرات قراوائی این عناصر، نشان دهنده روند کاهشی  $MgO$ ،  $TiO_2$ ،  $CaO$ ،  $FeO_t$  و  $P_2O_5$  می‌باشد که به نظر می‌رسد روند نزولی اکسیدهای منیزیم، آهن و تیتانیوم بیانگر مصرف این ترکیبات در کالی‌های قرومیزین مثل بیوتیت، هورنبلند و کلینوپیروکسن بوده باشد. بر اساس نمودارهای تعیین سری ماگمایی، نمونه‌های مورد مطالعه در حوالی محدوده سری کالک-آلکالن و سری کالک-آلکالن پتاسیم بالا و در محدوده متاآلومینوس تا کمی پرآلومینوس قرار می‌گیرند.

### واژه‌های کلیدی

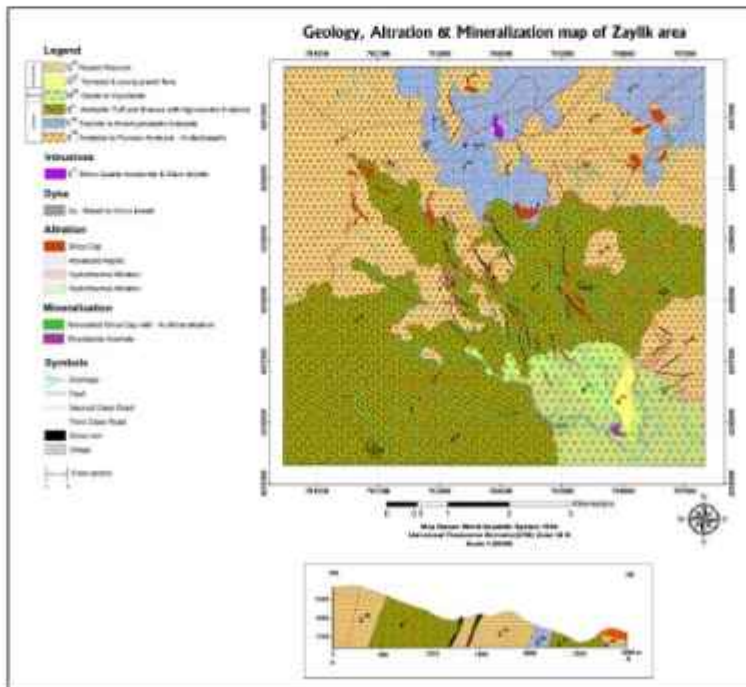
پتروگرافی، رئوژیمی، سنگ‌های آتشفشاری، زاچلیک، آذربایجان شرقی

## ۱- مقدمه

محدوده مورد مطالعه بر روی نقشه ۱:۱۰۰۰۰۰ زمین شناسی اهر، با طول جغرافیایی ۴۷ درجه و ۱۵ دقیقه تا ۴۷ درجه و ۳۰ دقیقه و عرض جغرافیایی ۳۸ درجه و ۱۵ دقیقه تا ۳۸ درجه و ۳۰ دقیقه، در ۲۵ کیلومتری جنوب شهرستان اهر، استان آذربایجان شرقی واقع شده است. این منطقه بخشی از کمان ماقمایی ترشیری البرز غربی- قفقاز کوچک از زون ارسپاران است که از نظر زمین شناسی شامل رخنمون های انواع قابل تفکیک به دو دسته عمده آذراواری و گدازه ای فی باشد. به طور کلی، بخش وسیعی از آذربایجان در اوایل پالئوزن تحت تأثیر فاز پیره چین خورد است. این ناآرامی تکتونیکی با فعالیت شدید ماقمایی بصورت گدازه و سکه های آذراواری همراه بوده بطوری که بخش وسیعی از آذربایجان از برونزدهای انواع پوشیده شده است [۱] به اعتقاد علوی [۲] و عزیزی و همکاران [۳]. تشکیل کمان ماقمایی البرز- آذربایجان در تیجه فروزانش موضوع اینتوسی خوی- زنجان بوده است. این در حالی است که مؤید [۴] معتقد است ماقمایی ترشیری البرز- باختری- آذربایجان، حاصل فعالیت های بعد از برخورد دو پوسته قاره ای صفحه عرس ما ایران مرکزی بوده است. نهشته های مورد مطالعه شامل دو ترم عمده حدواسط و اسیدی هستند و نهشته های مقیک در محدوده مورد مطالعه حجم کمتری را در بر می گیرد. از نظر دگرسانی این محدوده عمدتاً شامل دگرسانی های آرژیلیک پیشرفتی در جنوب محدوده مورد مطالعه، دگرسانی های اطراف رگه های هیدروترمال و دگرسانی های سیلیسی است. از آن جایی که مطالعات اولیه در منطقه برای تعیین پتانسیل کانه زایی با موقعیت تکتونیکی، زیوتیسی و ویژگی های قیزیکی و تیمیلایی سیال کانه ساز مرتبط است، بدین منظور محققان بیاری در حوزه زمین شناسی و مهندسی معدن به دنبال پیدا کردن رابطه بین توده های سنگ میزبان و ذخایر ماقمایی هستند. از جمله تحقیقاتی که در این ناحیه صورت گرفته است مربوط به مطالعات پراکنده ای از بی جویی و بررسی های سازمان زمین شناسی و اکتشافات معدنی کثیر در سال ۱۳۸۱ طی برداشته ای در راستای اکتشاف من و طلای پورفلری زون ارسپاران بوده [۵] و در سال ۱۳۹۴ تیز بررسی های اکتشافی با هدف اکتشاف طلا از رگه های هیدروترمال و دگرسان شده سیلیسی توسط شرکت صبا میهن در منطقه انجام شده است [۶]. لذا این مطالعه قصد دارد با پی بردن به ویژگی های پترولوژیکی و زیوتیمیلایی سنگ های منطقه و محاسبه درصد حضور اکسیدهای عناصر اصلی و عناصر نادر خاکی (REE) در سنگ ها، نمودارهای پتروگرافی مربوط به آن ها را ترسیم و نوع و منشأ ماقما در منطقه را مشخص نماید.

## ۲- زمین شناسی منطقه مورد مطالعه

محدوده کانی زایی زایلیک شامل مجموعه ای از سنگ های آتشفشاری انواع بالایی با ترکیب حدواسط تا اسیدی شامل آندزیت پورفیری، آندزی بازالت، بازالت و سنگ های ریوداسیتی همراه با سنگ های آذراواری وابسته به آن (لیتیکاتوف با ترکیب اسیدی) می باشد (شکل ۱). این مجموعه ای آتشفشاری تحت تأثیر فعالیت های گرمابی ناتی از نفوذ توده های موئزونیتی و دایکهای تأخیری، متحمل انواع دگرسانی های سیلیسی، فیلیک، آرژیلیک، آرژیلیک پیشرفتی و پروپیلیتیک شده است. چرخه های سیالات گرمابی در امتداد تکنگی ها و گسل های منطقه علاوه بر ایجاد دگرسانی، موجب نهشته های سنگی کانی های قلزی و کانی سازی در این منطقه شده است.



شکل ۱- نقشه‌ی زمین‌شناسی ۱:۲۰۰۰۰ تهیه شده از محدوده‌ی مورد مطالعه

#### ۱-۱- واحدهای سنگ‌شناسی محدوده مورد مطالعه

از نقطه‌نظر چیه‌شناسی، منطقه‌ی مورد مطالعه از واحدهای مختلف شامل سنگ‌های آتش‌شانی اتوسی با ترکیب لیتیک‌توف آندزیتی تا برش و لکانیکی و آگلومرا، آندزیت تا پپروکسن آندزیت-آندزی بارالت، تراکیت تا تراکی آندزیت، داسیت-رووداست، رسوبات کواترنری و نوده‌های نفوذی با ترکیب میکرو‌دیوریت-کوارتز‌میزونیت است.

#### ۱-۱-۲- واحد لیتیک‌توف آندزیتی - آندزیت

این واحد از گذازه‌های آتش‌شانی با ترکیب لیتیک‌توف آندزیتی، برش و لکانیکی و آگلومرا تشکیل شده است. در بررسی‌های صحرایی، این واحد سنگی حجم وسیعی از منطقه را به خود اختصاص داده است به طوری که می‌توان آن را به عنوان زمینه‌ی سنگی محدوده مورد مطالعه در نظر گرفت که بقیه‌ی واحدها را در بر گرفته است. در شکل ۲، تصویری از نمای رخنمون توف آندزیتی و مقطع نازک تهیه شده از نمونه پپروکسن آندزیت نشان داده است.



شکل ۲- الف- نمایی دور از رخنمون توف آندزیتی، ب- مقطع نازک تهیه شده از پپروکسن آندزیت

### ۲-۱-۲- واحد پیروکسین آندزیت

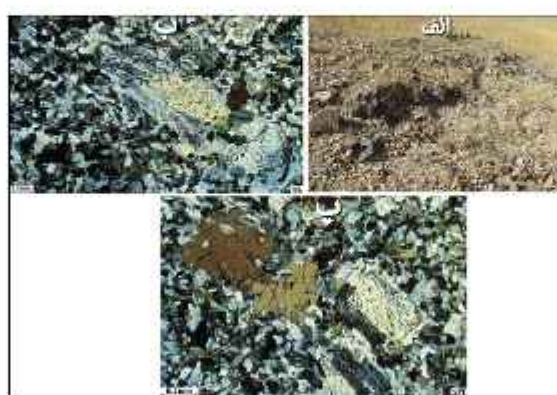
گذارهای آندزی بازالت به رنگ‌های خاکستری تیره تا قهوه‌ای در منطقه دیده می‌شوند. پلاتزیوکلازهای موجود در این سنگ‌ها، بیش از ۸۵ درصد حجم سنگ را به خود اختصاص داده‌اند. دومین بلور قراوان در این سنگ‌ها، پیروکسن (اوژیت) است که با چشم غیرمسلح نیز دیده می‌شود. در شکل ۳، تصویری از رخمنون آندزی بازالت، نمونه دستی و مقطع نازک تهیه شده از آن نشان داده شده است.



شکل ۳- الف- نمایی دور از رخمنون آندزی بازالت. ب-نمایی نزدیک از رخمنون آندزی بازالت. پ- مقطع نازک تهیه شده از آندزی بازالت. ت- نمونه دستی از آندزی بازالت

### ۳-۱-۲- واحد تراکی آندزیت

این واحد سنگی به سمت شمال شرق محدوده‌ی مورد مطالعه رخمنون دارد. رنگ این واحد سنگی، سبز بوده و از ویژگی‌های بارز سنگ‌های آن، زمینه‌ی ریزبلور با یافته پورقیری است. در نمونه‌ی دستی، به رنگ خاکستری روشن تا سبز خاکستری همراه با بافت تراکیتی دیده می‌شود. قنوکریستهای فلدسپار (پلاتزیوکلاز و پاتاسیم فلدسپار) به حالت کشیده با زمینه‌ی ریزدانه در آن دیده می‌شود. در مقطع میکروسکوپی بخش عمده‌ی نمونه شامل تیغه‌های فلدسپاتی کاملاً جهت‌یافته است که اکثریت آن‌ها به وسیله‌ی سریسبت، کانی‌های رسی و کمتر کلیست، جایگزین شده‌اند. در شکل ۴، نمایی از رخمنون واحد تراکی آندزیت و تصویری از مقطع نازک تهیه شده از آن آورده شده است.



شکل ۴- الف- نمایی دور از رخمنون تراکی آندزیت. ب و پ - مقطع نازک تهیه شده از تراکی آندزیت



#### ۴-۱-۲- واحد داسیت- ریوداسیت

بخش قابل توجهی از جنوب تا جنوب ترق محدوده‌ی مورد مطالعه را واحد اسیدی به تدت دگرسان شده با ترکیب داسیت و ریوداسیت به خود اختصاص داده است. نمونه‌های سنگی این واحد، دارای بافت پورفیری بوده که زمینه‌ی آن تا حدود قابل ملاحظه‌ای از سیلیس یا رتد نوام و بافت بلورین به همراه کانی‌های سریست و کلریت تشکیل شده است. بلورهای فلدمپار موجود در این سنگ به طور کامل به کانی‌های رسی و سرمیست تجزیه شده‌اند. بلورهای ماقبیک موجود در این سنگ نیز بیشتر به کلریت تجزیه شده است. در شکل ۵ تصویری از رخمنون واحد داسیت و مقطع نازک تهیه شده از آن آمده است.



شکل ۵- الف- نمای دور از رخمنون داسیت. ب- مقطع نازک تهیه شده از داسیت

#### ۳- روش شناسی تحقیق

در این مطالعه، پس از بازدید صحرایی از منطقه، تعداد ۸ نمونه برای تهیه مقاطع نازک و آنالیز XRF و ۵ نمونه برای آنالیز ICP-MS برداشت شد که با توجه به اهداف کار، نمونه‌ها جهت تعیین نسبت درصد عناصر و اکسیدهای اصلی در آزمایشگاه زرآزمایه مورد تجزیه قرار گرفتند. بحث و بررسی را در ابتدا با طبقه‌بندی تیمیابی سنگ‌های مورد مطالعه در نمودارهای رایج شروع کرده و در ادامه تغییرات نمودارهای عناصر اصلی و تعیین سری‌های ماغماهی مورد بررسی قرار می‌گیرند.

#### ۴- نتایج

با توجه به نسبت درصد اکسیدهای اصلی (جدول ۱) و مقادیر عناصر قرعی و کمیاب (جدول ۲) به دست آمده از تجزیه زتوتیمیابی نمونه‌های سنگی، ابتدا سنگ‌های منطقه بر اساس زتوتیمیابی سنگ‌ها نامگذاری، سپس روند تغییرات عناصر اصلی و تحولات مagma بررسی و نهایتاً سری‌های ماغماهی تعیین شد.

جدول ۱- نتایج تجزیه تیمیابی مقادیر اکسیدهای اصلی بر حسب درصد وزنی در نمونه‌های مورد مطالعه

نمونه اکسیدها	Z <sub>1</sub>	Z <sub>2</sub>	Z <sub>3</sub>	Z <sub>4</sub>	Z <sub>5</sub>
SiO <sub>2</sub>	۵۶/۹۸	۵۸/۲۸	۵۲/۹۲	۷۹/۶۱	۶۲/۸۲
Al <sub>2</sub> O <sub>3</sub>	۱۲/۹۴	۱۶/۴۰	۱۶/۵۹	۱۳/۵۰	۱۴/۵۲
BaO	۰/۱۸	۰/۰۸	۰/۰۷	۰/۰۵	۰/۰۷
CaO	۵/۸۲	۶/۳۲	۶/۴۷	۰/۱۳	۲/۹۷
Fe <sub>2</sub> O <sub>3</sub>	۵/۳۸	۶/۲۲	۸/۵۷	۰/۹۹	۷/۵۶



K <sub>2</sub> O	5/81	1/89	1/85	2/37	2/42
MgO	1/94	2/27	2/27	1/16	2/34
MnO	1/17	1/25	1/22	<1/0.5	1/15
Na <sub>2</sub> O	1/84	2/20	2/27	1/14	2/64
P <sub>2</sub> O <sub>5</sub>	1/59	1/28	1/23	<1/0.5	1/35
SO <sub>3</sub>	1/17	<1/0.5	<1/0.5	1/28	1/18
TiO <sub>2</sub>	1/92	1/27	1/11	1/47	1/84
LOI	5/79	2/12	2/57	1/81	2/12

جدول ۲- نتایج تجزیه شیمیایی مقادیر عناصر قریعی و کمیاب بر حسب قسمت در میلیون (ppm) برای نمونه‌های مورد مطالعه.

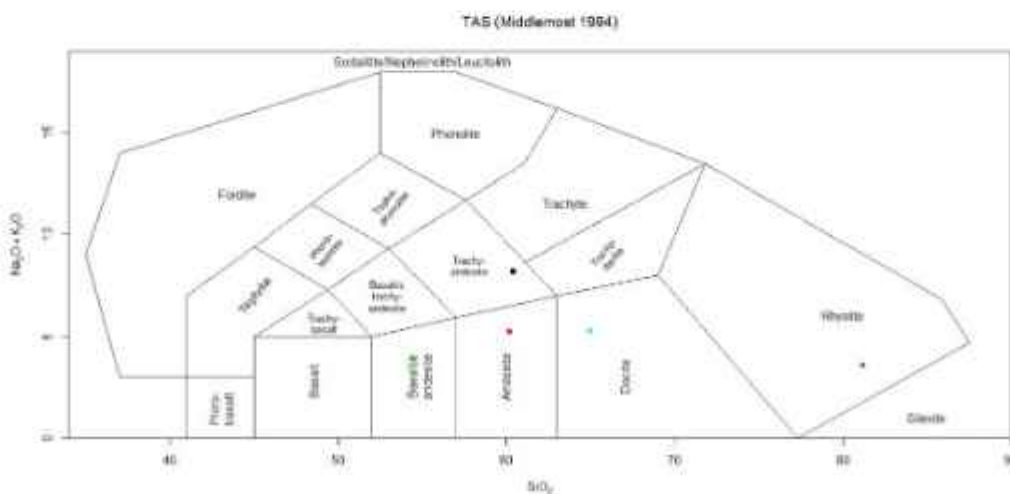
نمونه \ عناصر	Z1	Z2	Z3	Z4	Z5
Ag	1/2	<1/1	<1/1	1/2	<1/1
Al	84478	90553	91557	78958	83840
As	9/2	2/9	<1/1	7/1	<1/1
Ba	1117	724	684	525	757
Be	2/3	1/3	1/8	1/4	1/4
Bi	<1/1	<1/1	<1/1	2/9	1/5
Ca	22224	28328	7250.7	1287	24597
Cd	1/1	1/2	1/1	<1/1	1/2
Ce	128	98	48	59	52
Co	22	22	21/8	<1	21/8
Cr	120	51	54	25	75
Cs	2/3	1	1/9	2/1	2/2
Cu	42	41	22	19	25
Dy	2/85	2/15	2/21	1/97	2/88
Er	1/59	2/07	2/22	1/1	1/87
Eu	2/07	1/4	1/32	1/39	1/93
Fe	39879	47294	90.97	991.	564.6
Gd	5/17	2/82	2/82	1/27	2/59
Hf	5/24	2/92	2/71	2/78	2/79
In	<1/5	<1/5	<1/5	<1/5	<1/5
K	98887	19893	12914	212+0	22222
La	78	39	28	28	29
Li	22	26	18	2+	23
Lu	1/21	1/3	1/32	1/2	1/24
Mg	12576	>2%	>2%	1223	15868
Mn	1342	1578	1311	29	937

Mo	<0/1	0/3	0/5	1/9	1
Na	۱۷۳۴۳	۲۷۰۴۴	۱۸۸۶۵	۹۷۱	۲۲۴۹۸
Nb	۳۹/۱	۲۹/۷	۱۷/۴	۱۶/۲	۱۹/۱
Nd	۴۷/۹	۲۴/۴	۱۹/۹	۱۶/۹	۲۱/۸
Ni	۷۶	۲۱	۱۷	۴	۴۸
P	۲۲۷۶	۱۳۷۶	۱۰۹۴	۲۲۲	۱۶۸۴
Pb	۱۷	۱۲	۱۷	۳۲۹	۱۹
Pr	۱۳/۳۵	۶/۵۴	۴/۹۸	۵/۰۴	۵/۹۵
Rb	۱۳۱	۳۵	۱۷	۱۰۹	۷۱
S	۹۵۹	۱۵۸	۸۱	۱۸۷۱	۲۱۱
Sb	۴/۳	۰/۸	<۰/۵	۱/۴	۰/۸
Sc	۱۰/۹	۱۸/۹	۳۰/۹	۶/۷	۱۹/۳
Se	۱/۸۹	<۰/۵	<۰/۵	۴/۸۸	۰/۷۸
Sm	۷/۳۹	۴/۲۱	۷/۹۳	۷/۰۱	۷/۸۲
Sn	۱	۰/۴	۰/۸	۰/۴	۰/۶
Sr	۷۷۳/۱	۶۲۰/۱	۸۵۴	۴۸/۹	۴۵۴/۹
Ta	۱/۷۹	۱/۲۱	۰/۸۷	۰/۸۴	۰/۹۱
Tb	۰/۹۳	۰/۹۲	۰/۹۳	۰/۲۳	۰/۸۸
Te	۰/۲۱	<۰/۱	۰/۲۲	۱/۳۶	۰/۱۸
Th	۱۱/۰۲	۷/۷	۴/۹۹	۸/۹	۴/۲۱
Ti	۹۲۹۲	۵۳۱۰	۹۵۵۳	۲۹۵۰	۵۵۵۸
Tl	۰/۷۲	۰/۲۲	۰/۱۳	۲/۰۹	۰/۶۳
Tm	۰/۱۸	۰/۲۷	۰/۴	۰/۱۷	۰/۴۴
U	۲/۳	۲	۱/۴	۲/۴	۱/۱
V	۱۲۷	۱۵۶	۲۵۸	۸۷	۱۴۳
W	۱/۳	۱/۳	<۱	۲/۲	۱/۸
Y	۱۲/۹	۲۰/۴	۲۲	۷/۲	۱۸/۵
Yb	۱/۷	۳/۲	۳/۸	۱/۲	۲/۶
Zn	۷۲	۷۶	۸۷	۴	۱۰۰
Zr	۲۳۵	۱۴۳	۸۷	۱۰۱	۸۵

۴- نامگذاری سنگ‌های مورد مطالعه بر اساس ترکیب شیمیایی  
به منظور نامگذاری ریوتیمی سنگ‌های ناحیه مورد مطالعه، از نمودار میدل موست [۷] و دی لاروته و همکاران [۸] در نرم افزار GCDkit استفاده شد.

#### ۴-۱-۴- نامگذاری بر اساس نمودار 1994 Middlemost

این نامگذاری بر اساس نمودار مجموع آلکالان ( $\text{Na}_2\text{O} + \text{K}_2\text{O}$ ) در مقابل  $\text{SiO}_2$  طراحی شده که به نمودار TAS نیز معروف است در این نمودار، نمونه‌های مورد مطالعه در محدوده ریولیت، داسیت، آندزیت، آندزیت بازالت و تراکی آندزیت قرار می‌گیرند (شکل ۶).



شکل ۶- نامگذاری نمونه های سنگی مورد مطالعه بر اساس نمودار Middlemost, 1994

#### ۴-۲-۴- نامگذاری بر اساس نمودار De La Roche et al., 1980

این نامگذاری بر اساس نسبت کاتیونی (میلی کاتیون) بیان می‌شود. برای بدست آوردن این نسبت، درصد وزنی هر اکسید را به وزن مولکولی آن تقسیم کرده و در تعداد کاتیون بکار رفته در اکسید ضرب کرده، سپس مقدار حاصله را در هزار ضرب می‌کنیم تا به میلی-کاتیون تبدیل گردد. در نهایت، با استفاده از قرمول‌های زیر،  $R_1$  و  $R_2$  را بدست می‌وریم:

$$R_2 = 6\text{Ca} + 2\text{Mg} + \text{Al} \quad R_1 = 4\text{Si} - 11(\text{Na} + \text{K}) - 2(\text{Fe} + \text{Ti})$$

مرایای این طبقه بندی را می‌توان به شرح زیر بیان داشت:

- از کلیه عناصر به استثنای اکسیژن استفاده می‌شود.

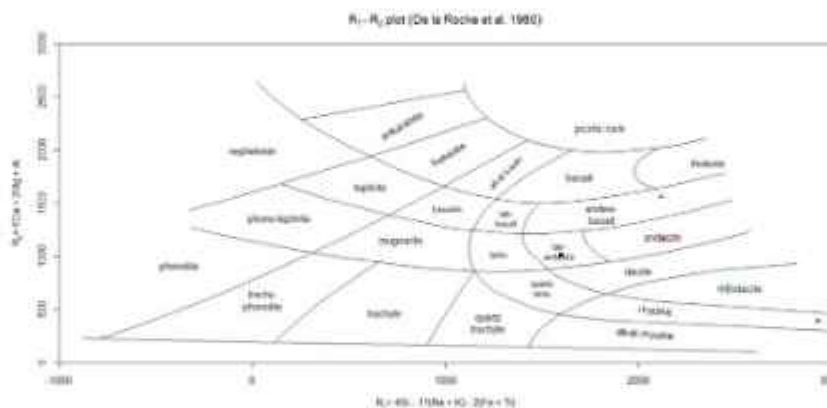
- برای تمام تیپ سنگ‌های آذرین (پلوتونیک و ولکانیک) کاربرد دارد.

- محاسبه پارامترهای  $R_1$  و  $R_2$  نسبت به محاسبه نورم راحت‌تر می‌باشد.

در پارامترهای  $R_1$  و  $R_2$  لزومی ندارد عنصری مانند  $\text{Fe}$  در بین کالی‌های اکسیدی یا سیلیکاتی توزیع گردد و یا آبیت بین پلازیوکلаз و فلدسپار آلکالن تقسیم شود. بر اساس این طبقه‌بندی، نمونه‌های مورد مطالعه در محدوده ریولیت، ریوداسیت، آندزیت، آندزیت بازالت و لاتیت آندزیت قرار می‌گیرند (شکل ۷).



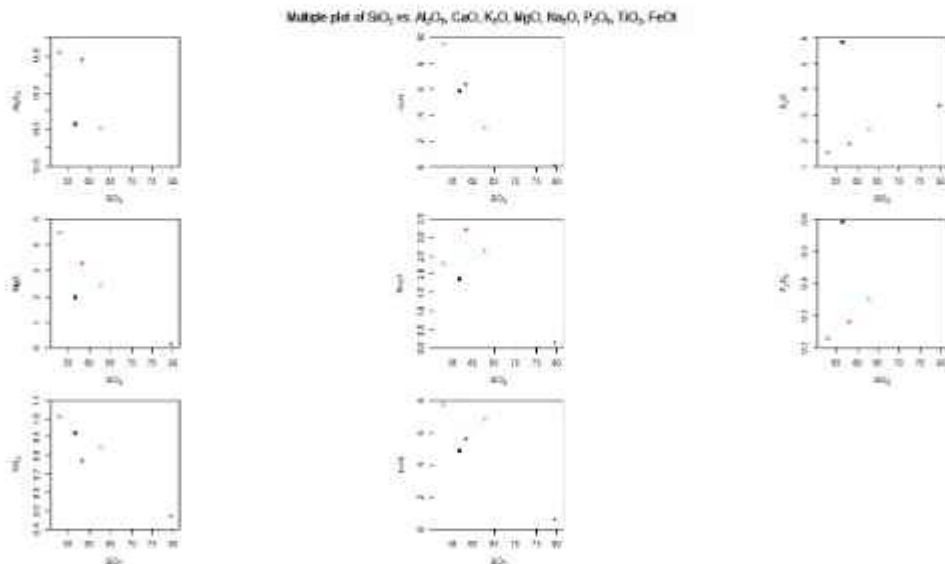
ISC



شکل ۷- نامگذاری نمونه های سنگی مورد مطالعه بر اساس نمودار DelaRoche et al., 1980

## ۴- بررسی روند تغییرات عناصر اصلی

برای تعیین ارتباط رتیکی بین سنگهای مختلف موجود در منطقه و همچنین روند تحولات ماسما از نظر آلایش، هضم، ذوب بخشی، تفرق و تبلور از نمودار تغییرات عناصر اصلی در مقابل سیلیس [۹] استفاده شد (شکل ۸). با توجه به نمودارها، روند کاهشی  $MgO$  در  $TiO_2$  و  $CaO$ - $FeOt$ - $P_2O_5$  در برابر  $SiO_2$  مشهود است. روند نزولی اکسیدهای منیزیم، آهن و تیتانیوم بیانگر مصرف این ذركیبات در کانی‌های قرومینیزین مثل بیوتیت، هورنبلند و کلینوپیروکسن می‌باشد. به عقیده پراهاباکر و همکاران [۱۰]، به دلیل تمرکز  $MgO$  در آلوین و پیروکسن، با تبلور این دو کانی و جدایش آنها از ماسما،  $MgO$  موجود در ماسما بمقیمانده کاهش می‌یابد. به نظر می‌رسد پراکندگی و تا حدودی افزایش در نمودار تغییرات  $K_2O$  در برابر  $SiO_2$  احتمالاً مرتبط با پدیده سریستی شدن باشد. بنایه عقیده قیلی و همکاران [۱۱] اوپیواکه و همکاران [۱۲]، تحرک بالای یون‌های  $K^+$  و  $Na^+$  طی فرایند دگرسانی می‌تواند عامل بروز پراکندگی متابده شده باشد. ورود  $TiO_2$  در شبکه اسفن، مصرف  $CaO$  و  $Na_2O$  در شبکه پلازیوکلازهای کلسیک و کلینوپیروکسن‌ها و ورود  $Al_2O_3$  به شبکه پلازیوکلازها و فلنسپارها دلیل روند کاهشی اکسیدهای مذکور در برابر  $SiO_2$  می‌باشد و همچنین کاهش  $P_2O_5$  به دلیل کاهش مودال آپاتیت در ترم‌های سیلیس بالا می‌باشد. پراکندگی لمونه‌ها در بعضی از نمودارهای اکسیدهای عناصر اصلی می‌تواند نشانگر پدیده‌های تبلور بخشی، اختلاط ماقمایی، آلودگی پوسته‌ای، ناهمگن بودن منشا درجات متغیر ذوب بخشی و قرایند دگرسانی باشد [۱۳].



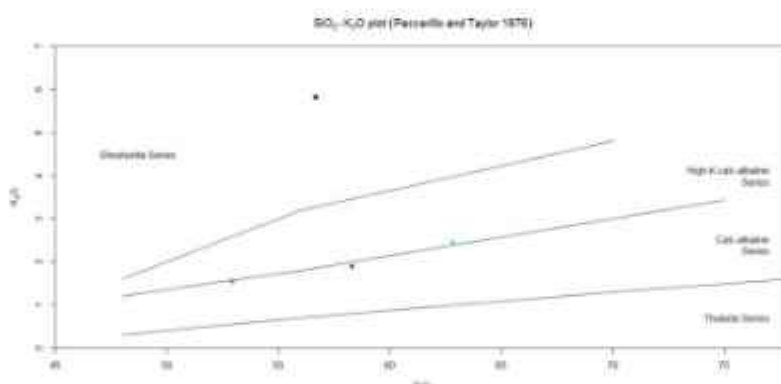
شکل ۸- نمودار تغییرات عناصر اصلی در مقابل  $\text{SiO}_2$  ، برای نمونه های مورد مطالعه

#### ۴-۳-۴- تعیین سری های ماقمایی

با توجه به نتایج به دست آمده از تجزیه ریتوسیمیابی نمونه های انتخابی، برای تعیین سری های ماقمایی در منطقه مورد مطالعه از نمودار نسبت  $\text{K}_2\text{O}$  به  $\text{SiO}_2$  پیسریلو و تیلور [۱۴]، نمودار  $\text{Co}$  در مقابل  $\text{Th}$  [۱۵] و نمودار مثاشی ( $\text{Al}_2\text{O}_3$ : $\text{Na}_2\text{O}$ : $\text{K}_2\text{O}$ ) مولبر و همکاران [۱۶] استفاده شد.

#### ۴-۳-۴-۱- نمودار $\text{SiO}_2$ - $\text{K}_2\text{O}$ Pecerillo and Taylor, 1976

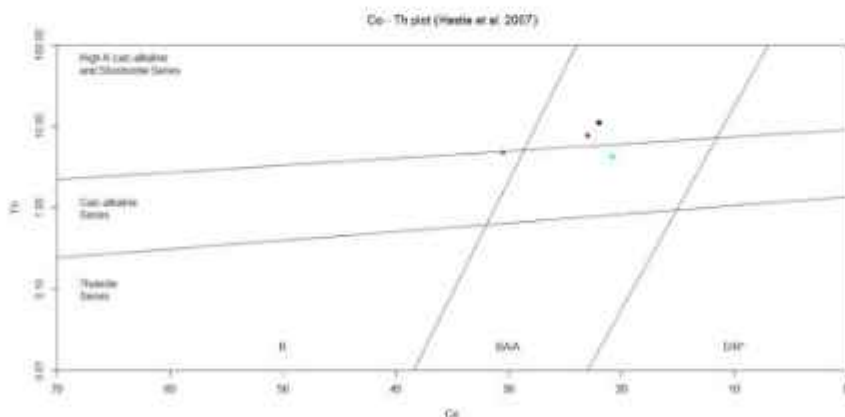
بر طبق این نمودار، نمونه های مورد مطالعه در مرز محدوده سری کالک آلکالن پتاسیم بالا و یک نمونه هم در محدوده سری نولنیتی قرار می گیرند (شکل ۹).



شکل ۹- نمودار  $\text{SiO}_2$ - $\text{K}_2\text{O}$  و موقعیت سرگاه های مورد مطالعه بر روی آن

#### ۴-۳-۲- نمودار Th در مقابل Co (Hastie et al., 2007)

بر طبق این نمودار، نمونه‌های مورد مطالعه در حوالی محدوده سری کالک‌آلکالن و کالک‌آلکالن پتاسیم بالا قرار می‌گیرند که در تکل ۱۰ آورده شده است.

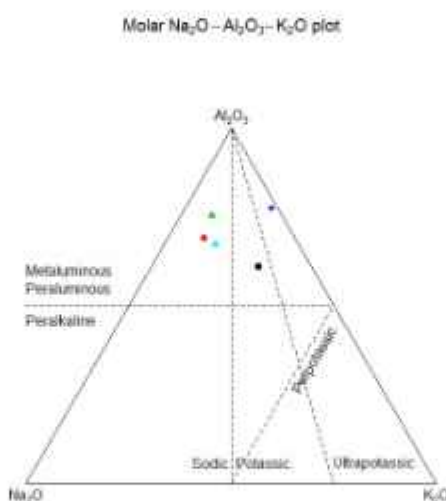


شکل ۱۰- نمودار Th در مقابل Co (Hastie et al., 2007) و موقعیت سنگ‌های مورد مطالعه بر روی آن

به عقیده ویلسون [۱۳] مانگما کالک‌آلکالن در ارتباط با مناطق فرورانش تشکیل می‌گردند. این نوع مانگما در دو محیط تکتونیکی جزایر قوسی و حاشیه قعال قاره‌ها تشکیل می‌شود. طبق نظر هاستی و همکاران [۱۵] مقدار  $K_2O$  نسبت به  $SiO_2$  به گونه‌ای است که در جزایر قوسی تمامی نمونه‌ها روی یک خط قرار می‌گیرند ولی در حاشیه قاره‌ها نمونه‌ها پراکنده‌اند. بنابرین با توجه به نمونه‌های مورد مطالعه منطقه، این مانگما در شرایط حاشیه قاره‌ای تشکیل شده است.

#### ۴-۳-۳- نمودار مثلثی $Al_2O_3$ - $Na_2O$ - $K_2O$ (Mollar et al., 1997)

بر طبق این نمودار، نمونه‌های مورد مطالعه ماهیت کالک‌آلکالن پتاسیم بالا دارند و در محدوده متا‌الومینوس تا کمی پر‌الومینوس قرار می‌گیرند (شکل ۱۱).



شکل ۱۱- نمودار مثلثی  $(Al_2O_3, Na_2O, K_2O)$  و موقعیت سنگ‌های مورد مطالعه بر روی آن (Muller et al., 1997)

#### ۵- نتیجه گیری

- منطقه زایلیک شامل مجموعه‌ای از سنگ‌های آتشفتانی اتوسن بالابی با ترکیب حدوداً  $\text{SiO}_2$  تا  $\text{Al}_2\text{O}_3$  است که بر اساس مطالعه مقاطع نازک و بررسی نتایج حاصل از تجزیه ریوتیمبایی نمونه‌ها، این سنگ‌ها شامل زیولیت، روپاسیت، آندزیت، آندزی بازالت و تراکی آندزیت است.

- بر اساس نمودار تغییرات عناصر اصلی در مقابل سیلیس، روند کاهشی  $\text{CaO}$ ,  $\text{FeOt}$ ,  $\text{P}_2\text{O}_5$ ,  $\text{MgO}$  و  $\text{TiO}_2$  در برابر  $\text{SiO}_2$  مشهود است که به نظر می‌رسد روند نزولی اکسیدهای منیزیم، آهن و تیتانیوم بیانگر مصرف این ترکیبات در کالی‌های قرومینزین مثل بیوتیت، هورنبلند و کلینوپیروکسن باشد.

- بر طبق نمودارهای تعیین سری ماقما، نمونه‌های مورد مطالعه در حوالی محدوده سری کالک آکالان و سری کالک آکالان پتاشیم بالا قرار می‌گیرند و همچنین نمودار مثلثی  $\text{Na}_2\text{O}$  و  $\text{K}_2\text{O}$  و  $\text{Al}_2\text{O}_3$  موقعیت سنگ‌های مورد مطالعه را در محدوده متالومینوس تا کمی پرآلومینوس نشان می‌دهد.

#### ۶- منابع

- [۱] سید علی آقابیاتی، ۱۳۸۳. زمین شناسی ایران، سازمان زمین شناسی و اکتشافات معدنی ایران.
- [۲] Alavi, M., (1996): Tectonostratigraphic synthesis and structural style of the Alborz Mountain system in Northern Iran, J. Geodynamic, No 21, 1-33.associated with some granitoids of the central Sierra Nevada.
- [۳] Azizi, H., Moinevaziri H., (2008): Review of the tectonic setting of Cretaceous to Quaternary volcanism in northwestern Iran, Journal of Geodynamics, 47: 167-179p.
- [۴] محسن مؤید، ۱۳۸۱. نگرشی نوبتگیری و تکامل تدوتیس و ارتباط آن با ماقماشیم ترنسیری ارومیه-دختر و البرز غربی - آذربایجان، ششمین همایش الجمن زمین شناسی ایران، دانشگاه شهید یاهیه کرمان، کرمان، ایران، ۳۷۸-۳۷۴.
- [۵] منصور قربانی، ۱۳۸۷. زمین شناسی اقتصادی ایران. ذخایر معدنی و طبیعی ایران، انتشارات آژین زمین.
- [۶] مطالعات اکتشافی با هدف اکتشاف طلا از رگه‌های سیلیسی هیدروترمال، ۱۳۹۴. شرکت صبا مهندن.
- [۷] Middlemost, E. M. K., (1994): Naming materials in the magma igneous rock system Earth. Sci. Rev. 37: 215-224 p.
- [۸] De La Roche, M., (1980): Classification of volcanic and plutonic rock using R1-R2 diagram and major element analysis, Chemistry of journal, vol.29.
- [۹] Harker, A., (1909): The natural history of igneous rocks. Macmillan, New York.
- [۱۰] Prabhakar, B.C., Jayananda, M., Shareef, M., and Kano, T., (2009): Petrology and Geochemistry of Late Archaean Granitoids in the Northern Part of Eastern Dharwar Craton, Southern India: Implications for Transitional Geodynamic
- [۱۱] Feely, T.C., Cosca, M.A., and Lindsay, C.R., (2002): Petrogenesis and implications of calc-Alkaline cryptic hybrid magmas from Washburn volcano, Absaroka volcanic province, U.S.A. J Petrolo, 43, 4, 663-703 p.
- [۱۲] Opiyo-Akech, N., Tarney, J., and Hoshino, M., (1999): Petrology and geochemistry granites from Archean terrain north of lake Victoria, Western Kenya. Journal of African Earth Sciences 29,283-300 p.
- [۱۳] Wilson M., (1989): Igneous petrogenesis. Unwin Hyman, London.
- [۱۴] Peccerillo A., Taylor SR., (1976): Geochemistry of Eocene calc-alkaline volcanic-rocks from Kastamonu Area, Northern Turkey. Contrib Mineral Petrol 58(1):63-81
- [۱۵] Hastie, A. R., Kerr, A. C., Pearce, J. A., and Mitchell, S. F., (2007): Classification of altered volcanic island arc rocks using immobile trace elements: Development of the Th-Co discrimination diagram. Journal of Petrology, 48, 2341-2357 p.
- [۱۶] Muller, D., and Groves, D.I., 1997. Potassic igneous rocks and associated gold-copper mineralization, Sec. Updated.

## Petrography, Geochemistry and Determining magmatic series of volcanic rocks in the Zaylik area, East Azerbaijan province

Hasanzadeh Koulani A.<sup>1</sup>, Baharlouei Yancheshmeh S.<sup>2\*</sup>

<sup>1</sup>*M.Sc, Dept. of Mining Engineering, Ahar Branch, Islamic Azad University, Ahar, Iran.*

*Email: abolfazlhasanzadeh1@yahoo.com*

<sup>2</sup>*Assistant Professor, Dept. of Geology, Ahar Branch, Islamic Azad University, Ahar, Iran*

*Email: somayehbaharlue@gmail.com*

### Abstract

Zaylik region is located 25 km southeast of Ahar, East Azerbaijan province. This area, as a part of Tertiary magmatic arc of Western Alborz-Lesser Caucasus from Arsbaran zone, includes a collection of upper Eocene volcanic rocks with intermediate to acidic composition. According to the results, rhyolite, rhyodacite, andesite, andesi- basalt and trachyandesite are the dominat rocks of the region. Binary plots of some major elements plotted against silica. Investigating trend changes of the elements abundance shows the decreasing trend of MgO, P<sub>2</sub>O<sub>5</sub>, FeO, CaO and TiO<sub>2</sub>. It seems that the downward trend of magnesium, iron and titanium oxides indicates the consumption of these compounds in ferromagnesian minerals such as biotite, hornblende and clinopyroxene. According to the magmatic series determination diagrams, the studied samples are located around the range of calc-alkaline series and high-potassium calc-alkaline series and in the metaaluminous range.

**Keywords:** Petrography, Geochemistry, volcanic rocks, Zaylik area, East Azerbaijan